

IX. Láminas de flora fósil

Cuenca de Surroca-Ogassa Estefaniense C

Lámina 1

***Alethopteris pennsylvanica* Lesquereux in Rogers,
1858**

Fig. 1. *Alethopteris pennsylvanica* Lesquereux in Rogers, 1858. MGB 110-1 col. Vidal. Ogassa.

Fragmento de una pinna de último orden, con amplias pínnulas insertas oblicuamente en el raquis. x3.

Fig. 2. *Alethopteris pennsylvanica* Lesquereux in Rogers, 1858. MGB 115-2 col. Vidal. Ogassa.

Pinna incompleta de último orden, con las características pínnulas subtriangulares, alargadas y apuntadas. 2a: x1; 2b: x3

Fig. 3. *Alethopteris pennsylvanica* Lesquereux in Rogers, 1858. MGB 114-1 col. Vidal. Ogassa.

Fragmento de pinna de último orden. Destacan las pínnulas alargadas y apuntadas, provistas de un fuerte nervio central prolongado hasta el ápice. x3.



1

2b



3

Lámina 2

***Alethopteris pennsylvanica* Lesquereux in Rogers, 1858**

Fig. 1. *Alethopteris pennsylvanica* Lesquereux in Rogers, 1858. MGB 19938 col. Almera? Surroca.

Pinna de último orden, con el ápice casi completo. x3.

Fig. 2. *Alethopteris pennsylvanica* Lesquereux in Rogers, 1858. MGB 29583 col. Sunyer. Minas del Coto, Escombrera Nº 1, Ogassa.

Parte apical de una pinna de penúltimo orden, con su terminal característico y algo incompleto. x3.

***Callipteridium (Eucallipteridium) gigas* (Gutbier in Geinitz & Gutbier, 1849) Weiss, 1870**

Fig. 3. *Callipteridium (Eucallipteridium) gigas* (Gutbier in Geinitz & Gutbier, 1849) Weiss, 1870. MGB 125-1/2 col. Vidal. Ogassa.

Fragmento de pinna de último orden, con grandes pínnulas insertas en el raquis por toda su base. Las pínnulas presentan la típica forma subtriangular, de ápice obtusamente agudo y nerviación compuesta por un nervio central, largo y marcado, del que surgen, así como del raquis, abundantes nervios secundarios. 3a: x1; 3b: x3.



3a

3b



Lámina 3

Callipteridium (Eucallipteridium) gigas (Gutbier in Geinitz & Gutbier, 1849) Weiss, 1870

Fig. 1. *Callipteridium (Eucallipteridium) gigas* (Gutbier in Geinitz & Gutbier, 1849) Weiss, 1870. MGB 19952-1 col. Colominas. Ogassa.

Fragmento de pinna de penúltimo orden, con impresiones de tres pinnas de último orden. Las pínnulas, rectangulares, de ápice algo asimétrico, se insertan paralelamente a su raquis por toda la base. x3.

Callipteridium (Eucallipteridium) zeilleri Wagner, 1962

Fig. 2. *Callipteridium (Eucallipteridium) zeilleri* Wagner, 1962. MGB 19969-1 col. Colominas. Ogassa.

Fragmento superior de un pinna de penúltimo orden. Las pínnulas, de morfología alethopteroide, se alargan y crecen hacia la parte inferior, dando lugar, sin estados de lobulación intermedios, a una pinna de último orden conservada fragmentariamente. x3.

Fig. 3. *Callipteridium (Eucallipteridium) zeilleri* Wagner, 1962. MGB 29151 col. Sunyer. La Fogonella, Ogassa.

Fragmento de una pinna de último orden, con las características pínnulas subtriangulares de nerviación fina, apretada y ascendente. x3.



Lámina 4

***Callipteridium (Eucallipteridium) zeilleri* Wagner,
1962**

Fig. 1. *Callipteridium (Eucallipteridium) zeilleri* Wagner,
1962. MGB 29576 col. Sunyer. Surroca.

Parte terminal de una pinna de penúltimo orden. Se aprecia el progresivo desarrollo e individualización de las pínnulas, a partir del terminal, hasta constituir pínnas de último orden insertas en el raquis alternadamente. 1a: x1; 1b: x3.



1a



1b

Lámina 5

***Callipteridium (Eucallipteridium) zeilleri* Wagner, 1962**

Fig. 1. *Callipteridium (Eucallipteridium) zeilleri* Wagner, 1962. MGB 29576 col. Sunyer. Surroca.

Parte terminal de una pinna de penúltimo orden. x3.

Fig. 2. *Callipteridium (Eucallipteridium) zeilleri* Wagner, 1962. MGB 19969-2 col. Colominas. Ogassa.

Parte apical de una pinna de último orden. Destaca, aislada, una pínula de gran tamaño, provista de un largo y ancho nervio central marcado profundamente en el limbo. x3.

***Neurodontopteris auriculata* (Brongniart, 1831) Potonié, 1893**

Fig. 3. *Neurodontopteris auriculata* (Brongniart, 1831) Potonié, 1893. MGB 39692 col. Campreciós. Mina Gallina, Ogassa.

Parte terminal de una pinna de último orden. 3a: x1; 3b: x3.



Lámina 6

***Neuropteris cf. pseudoblissii* Potonié, 1893**

Fig. 1. *Neuropteris cf. pseudoblissii* Potonié, 1893. MGB 29651-1 col. Sunyer. Minas del Coto, Escombrera Nº 1, Ogassa.

Hoja aislada, con el ápice y la base incompletos. Se observa la nerviación, densa, pero no el característico dentado del borde. 1a: x1; 1b: x3.

***Odontopteris brardii* Brongniart, 1822**

Fig. 2. *Odontopteris brardii* Brongniart, 1822. MGB 29636 col. Sunyer. Minas del Coto, Escombrera Nº 3, Ogassa.

Pinna de último orden, de característico aspecto lanceolado. Las pínnulas, insertas alternadamente y por toda su base en el raquis, presentan nerviación fina y marcada compuesta de abundantes nervios secundarios que parten en ángulo agudo del principal y se prolongan hasta el borde del limbo. 2a: x1; 2b: x3.

Fig. 3. *Odontopteris brardii* Brongniart, 1822. MGB v10186 col. UB (Villalta). Surroca.

Fragmento de una pinna de penúltimo orden. 3a: x1; 3b: x3.

***Gondomaria grandeuryi* (Zeiller, 1888) Wagner & Castro, 1998**

Fig. 4. *Gondomaria grandeuryi* (Zeiller, 1888) Wagner & Castro, 1998. MGB 19474 col. Colominas. Surroca.

Impresión de varias pinnas incompletas de último orden. x1.



Lámina 7

***Gondomaria grandeuryi* (Zeiller, 1888) Wagner & Castro, 1998**

Fig. 1. *Gondomaria grandeuryi* (Zeiller, 1888) Wagner & Castro, 1998. MGB 19474 col. Colominas. Surroca.

Impresión de dos pinnas incompletas de último orden. x3.

***Linopteris gangamopteroides* (De Stefani, 1901) Wagner in Wagner & Breimer, 1958**

Fig. 2. *Linopteris gangamopteroides* (De Stefani, 1901) Wagner in Wagner & Breimer, 1958. MGB 29633-1 col. Sunyer. Surroca.

Pínula aislada, lingüiforme, de ápice subtriangular y redondeado, con pecíolo incipiente. Se observa la característica nerviación anastomosada que constituye una red extendida hasta el margen. x3.

Fig. 3. *Linopteris gangamopteroides* (De Stefani, 1901) Wagner in Wagner & Breimer, 1958. MGB 29633-2 col. Sunyer. Surroca.

Pínula aislada, de base cordada y márgenes laterales paralelos y rectos que convergen hacia el ápice obtusamente redondeado. La nerviación, anastomosada, forma una red de mallas rómbicas que se prolongan hasta el margen. x3.

***Linopteris neuropteroides* (Gutbier in Geinitz, 1855) Potonié, 1897**

Fig. 4. *Linopteris neuropteroides* (Gutbier in Geinitz, 1855) Potonié, 1897. MGB 29640 col. Sunyer. Surroca.

Pínula aislada, de aspecto lingüiforme, bordes enteros y ápice agudo y redondeado. La nerviación consta de un nervio central, recto, del que parten oblicuamente numerosos nervios para constituir una red de mallas alargadas y estrechas prolongadas hasta el margen. x3.



Lámina 8

***Barthelopteris germarii* (Giebel, 1857) Zodrow & Cleal, 1993**

Fig. 1. *Barthelopteris germarii* (Giebel, 1857) Zodrow & Cleal, 1993. MGB 29571 col. Sunyer. Surroca.

Fragmento de una pinna de último orden sobre la que aparece, solapándola parcialmente, otra similar y más incompleta. 1a: x1; 1b: x3.



1a

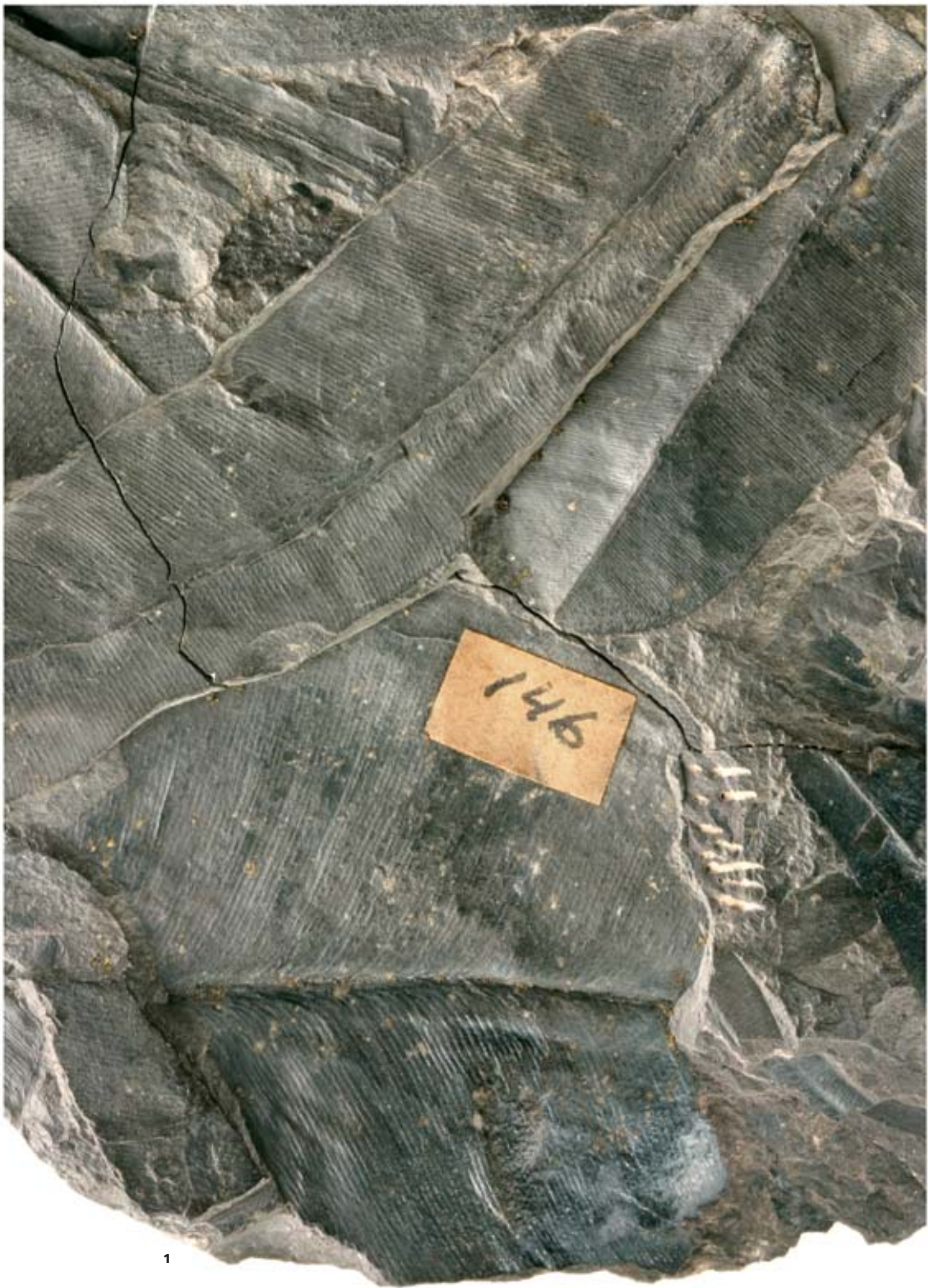


1b

Lámina 9

***Taeniopteris abnormis* Gutbier, 1849**

Fig. 1. *Taeniopteris abnormis* Gutbier, 1849. MGB 29588
col. Sunyer. Minas del Coto, Escombrera N° 2, Ogassa.
Fragmentos superpuestos de hojas. x3.



1

Lámina 10

***Taeniopteris abnormis* Guttier, 1849**

Fig. 1. *Taeniopteris abnormis* Guttier, 1849. MGB 29588
col. Sunyer. Minas del Coto, Escombrera N° 2, Ogassa.
Fragmentos superpuestos de hojas. x1.

Fig. 2. *Taeniopteris abnormis* Guttier, 1849. MGB 29599
col. Sunyer. Surroca.

Hoja aislada, incompleta, recorrida centralmente por un nervio principal bien desarrollado del que parten los laterales, densos y paralelos entre sí, que se prolongan hasta alcanzar el margen. 2a: x1; 2b: x3.

***Cyclopteris trichomanoides* Brongniart, 1831**

Fig. 3. *Cyclopteris trichomanoides*. MGB 125-1/1 col. Vidal.
Ogassa.
Estructura foliar de gran tamaño y aspecto subcircular,
con nerviación en abanico. x1.



1



2a



3

Lámina 11

***Cyclopteris trichomanoides* Brongniart, 1831**

Fig. 1. *Cyclopteris trichomanoides*. MGB 125-1/1 col. Vidal. Ogassa.

Estructura foliar de gran tamaño y aspecto subcircular, con nerviación en abanico. Se observan los nervios, que se dividen dicotómicamente hasta alcanzar el borde del limbo. x2,5 aprox.



Lámina 12

"Semillas"

Fig. 1. *Trigonocarpus* sp. MGB 33778 col. Gurrea. Surroca.
"Semillas". x3.

Fig. 2. *Cardiocarpus* sp. MGB 124-2a col. Vidal. Ogassa.
"Semilla". x3.

Fig. 3. *Cardiocarpus* sp. MGB 19475. Ogassa.
"Semilla" de ostensible forma acorazonada. x3.

Fig. 4. Semilla con el punto de inserción. MGB 27948 col.
RACAB (Bolós). "Sant Joan de les Abadesses". x3.

***Samaropsis gutbieri* (Göppert, 1864) Kidston, 1911**

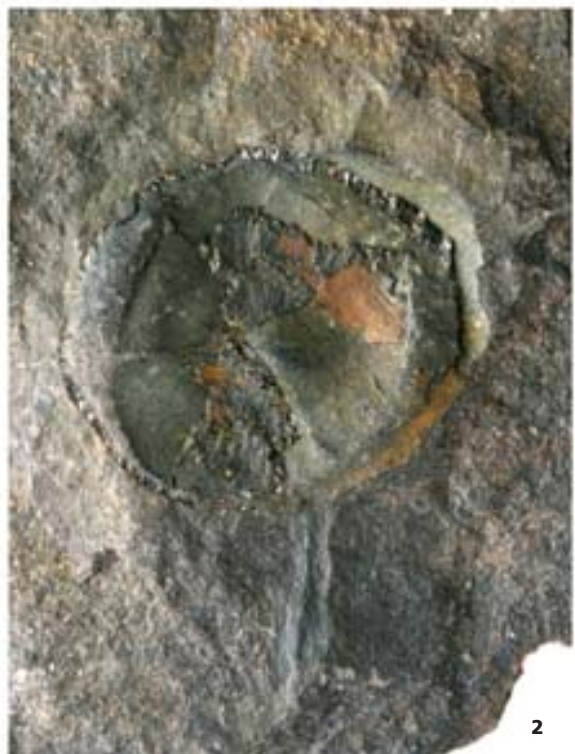
Fig. 5. *Samaropsis gutbieri* (Göppert, 1864) Kidston, 1911.
MGB 27672-2 col. RACAB (Llobet). Surroca.

Fructificación de forma discoidal, con el ala membranosa
ecuatorial para su dispersión por el viento. x3.

194



3



2



4



5



1

Lámina 13

***Cordaites* sp.**

Fig. 1. *Cordaites* sp. MGB 22079 col. RACAB (Borràs). "Sant Joan de les Abadesses".

Fragmento de hoja aislada, con nerviación subparalela. Conserva parte de la base. x2.

Fig. 2. *Cordaites* sp. MGB 22845 col. RACAB (Margarit). "Sant Joan de les Abadesses".

Fragmento de una hoja con nerviación subparalela. x2.



Lámina 14

***Poacordaites microstachys* (Goldenberg in Weiss,
1869) Zeiller, 1878**

Fig. 1. *Poacordaites microstachys* (Goldenberg in Weiss,
1869) Zeiller, 1878. MGB 118 col. Vidal. Ogassa.

Hojas agrupadas radialmente alrededor de una ramita.
1a: x1; 1b: x3.



1a



1b

Lámina 15

***Dicksonites decorsii* (Zeiller, 1888) Wagner, 2004**

Fig. 1. *Dicksonites decorsii* (Zeiller, 1888) Wagner, 2004. MGB 39721 col. Campreciós. Mina Gallina, Ogassa.

Fragmento de pinna de penúltimo orden en la que se insertan, alternas, las pinnas de último orden provistas de pínnulas profundamente lobuladas. 1a: x1; 1b: x3.

***Dicksonites pluecknetii* (Schlotheim, 1804) Sterzel, 1881**

Fig. 2. *Dicksonites pluecknetii* (Schlotheim, 1804) Sterzel, 1881. MGB 29594 col. Sunyer. Can Camps, Ogassa.

Dos pinnas de penúltimo orden, parcialmente solapadas. Las pínnulas, de lóbulos casi individualizados, rematan ocasionalmente en un lóbulo distal de aspecto triangular y obtuso. 2a: x1; 2b: x3; 2c: x3.



1b



1a



2a



2b



2c

Lámina 16

***Autunia conferta* (Sternberg, 1826) Kerp in Kerp & Hanbold, 1986**

Fig. 1. *Autunia conferta* (Sternberg, 1826) Kerp in Kerp & Hanbold, 1986. MGB 39708 col. Campreciós. Mina Gallina, Ogassa.

Impresiones de pequeñas pínnulas insertas oblicuamente en el eje. x4.

***Sphenopteris mathetii* Zeiller, 1888**

Fig. 2. *Sphenopteris mathetii* Zeiller, 1888. MGB v10203 col. UB. Surroca.

Pinna incompleta de penúltimo orden, con cuatro pinnas de último orden. x3.

***Oligocarpia leptophylla* (Bunbury, 1853)
Grauvogel-Stamm & Doubinger, 1975**

Fig. 3. *Oligocarpia leptophylla* (Bunbury, 1853) Grauvogel-Stamm & Doubinger, 1975. MGB 22079 col. RACAB (Borràs). “Sant Joan de les Abadesses”.

Pinna incompleta de último orden. x3.

***Senftenbergia elaverica* (Zeiller, 1888) Wagner, 1999**

Fig. 4. *Senftenbergia elaverica* (Zeiller, 1888) Wagner, 1999. MGB 130 col. Vidal. Surroca.

Fragmento lateral de una pina de penúltimo orden. x3.

Fig. 5. *Senftenbergia elaverica* (Zeiller, 1888) Wagner, 1999. MGB 22655 col. RACAB. “Sant Joan de les Abadesses”.

Fragmento de una pina de penúltimo orden. Se aprecia la nerviación neta y simple. x3.



2



1



4



3



5

Lámina 17

***Senftenbergia gruneri* (Zeiller, 1888) Wagner & Álvarez-Vázquez, 1995**

Fig. 1. *Senftenbergia gruneri* (Zeiller, 1888) Wagner & Álvarez-Vázquez, 1995. MGB 29635 col. Sunyer. Surroca.

Pinna de penúltimo orden. Se observa el progresivo aumento de la lobulación hacia la parte inferior hasta formar pequeñas pinnas de último orden. 1a: x1; 1b: x3.

Fig. 2. *Senftenbergia gruneri* (Zeiller, 1888) Wagner & Álvarez-Vázquez, 1995. MGB 29652 col. Sunyer. Minas del Coto, Escombrera N° 2, Ogassa.

Pinna de penúltimo orden, de aspecto triangular. Las pínnulas crecen progresivamente en lobulación y tamaño, desde el extremo apuntado, para formar pinnas de último orden. x3.

***Diplazites longifolius* (Brongniart, 1828) Göppert, 1836**

Fig. 3. *Diplazites longifolius* (Brongniart, 1828) Göppert, 1836. MGB 29487 col. Sunyer. Cal Cabré, Ogassa.

Pinna de último orden, con el característico aspecto de cinta y el extremo apical redondeado obtusamente. Presenta numerosas pínnulas de aspecto subcuadrado, fusionadas lateralmente. x3.

***Nemejcopteris feminaeformis* (Schlotheim, 1820) Barthel, 1968**

Fig. 4. *Nemejcopteris feminaeformis* (Schlotheim, 1820) Barthel, 1968. MGB 29500 col. Sunyer. Can Florent, Ogassa.

Fragmento de pinna de último orden. Las pínnulas muestran la nerviación típica de la especie, muy marcada: nervios secundarios, robustos, espaciados y simples, que divergen oblicuamente desde la base hasta alcanzar los márgenes laterales, conformando un borde finamente denticulado. x3.



Lámina 18

cf. *Danaeites emersonii* Lesquereux, 1879

Fig. 1. cf. *Danaeites emersonii* Lesquereux, 1879. MGB 19987 col. Colominas. Ogassa.

Fragmento de pinna de último orden. 1a: x1; 1b: x3.

***Lobatopteris corsinii* Wagner, 1959**

Fig. 2. *Lobatopteris corsinii* Wagner, 1959. MGB 19479 col. San Miguel. Surroca.

Fragmento de pinna de penúltimo orden. 2a: x1; 2b: x3.

***Pecopteris cf. candolleana* Brongniart, 1833**

Fig. 3. *Pecopteris cf. candolleana* Brongniart, 1833. MGB 19946 col. Vidal. Surroca.

Pinna incompleta de último orden. 3a: x1; 3b: x3.

Fig. 4. *Pecopteris cf. candolleana* Brongniart, 1833. MGB 29638a col. Sunyer. Pla d'en Dolça, Ogassa.

Pinna incompleta de último orden. x3.



3b



4



3a



2b



1a



1b



2a

Lámina 19

***Pecopteris arborescens* (Schlotheim, 1820)
Brongniart, 1833**

Fig. 1. *Pecopteris arborescens* (Schlotheim, 1820)
Brongniart, 1833. MGB v10222-3b col. UB (Llopis). Surroca.

Pinna incompleta de penúltimo orden, con las pínulas de último orden insertas alternadamente en el raquis. Las inferiores, en número de once, en algunas de cuyas pínulas se aprecia la característica nerviación simple, están en su mayoría completas. x3.



Lámina 20

***Pecopteris arborescens* (Schlotheim, 1820)
Brongniart, 1833**

Fig. 1. *Pecopteris arborescens* (Schlotheim, 1820) Brongniart, 1833. MGB 19952-2 col. Colominas. Ogassa.

Pinna de penúltimo orden, de forma triangular aunque incompleta. Alternas sobre el raquis se sitúan las pinnas de último orden, muy alargadas y estrechas, espaciadas, cuyo tamaño decrece hacia el terminal, que no se conserva. 1a: x1; 1b: x3.

***Pecopteris cyathea* (Schlotheim, 1804) Brongniart, 1833**

Fig. 2. *Pecopteris cyathea* (Schlotheim, 1804) Brongniart, 1833. MGB 19463. Surroca.

Fragmento de una pinna de último orden. 2a: x1; 2b: x3.



2b



1a



2a



1b

Lámina 21

Pecopteris cf. densifolia (Göppert, 1864) Weiss, 1869

Fig. 1. *Pecopteris cf. densifolia* (Göppert, 1864) Weiss, 1869. MGB 29575-2 col. Sunyer. Minas de Coto, Escombrera N° 2, Ogassa.

Fragmento de una pinna de último orden, con las pinnular alargadas y de bordes algo convexos, insertas alternadamente y en amplio ángulo sobre el raquis. x3.

Pecopteris cf. densifolia sensu Zeiller, 1888 (non Göppert, 1864)

Fig. 2. *Pecopteris cf. densifolia sensu Zeiller, 1888 (non Göppert, 1864)*. MGB v10201 col. UB. Surroca.

Fragments de cuatro pínnas de último orden, paralelas, con las pínnulas cortas y anchas, de bordes ligeramente redondeados e insertas oblicuamente a sus raquises. x3.

Fig. 3. *Pecopteris cf. densifolia sensu Zeiller, 1888 (non Göppert, 1864)*. MGB v10201 col. UB. Surroca.

Otros fragmentos de tres pínnulas de último orden del ejemplar anterior. x3.

Pecopteris esporangiado

Fig. 4. *Pecopteris esporangiado* sp. indet. MGB 29632 col. Sunyer. Minas de Coto, Escombrera Central, Ogassa.

Fragmento de pinna de último orden. Presenta dos líneas de ocho sinangios dispuestos a ambos lados del nervio central. 4a: x1; 4b: x3.



Lámina 22

***Pecopteris jongmansii* Wagner, 1962**

Fig. 1. *Pecopteris jongmansii* Wagner, 1962. MGB 33783 col. Gurrea. Surroca.

Pinna de último orden. Las pínnulas, con la nerviación característica de nervios secundarios simples y alguno bifurcado, se acortan bruscamente hacia la parte apical, que culmina en una pínnula de base ancha, pequeña y redondeada, típica de la especie. 1a: x1; 1b: x3.

***Pecopteris cf. laxenervosa* Wagner & Lemos de Sousa, 1983**

Fig. 2. *Pecopteris cf. laxenervosa* Wagner & Lemos de Sousa, 1983. MGB 29665-2 col. Sunyer. Pla d'en Dolça, Ogassa. Fragmento de pinna de último orden. x3.

Fig. 3. *Pecopteris cf. laxenervosa* Wagner & Lemos de Sousa, 1983. MGB 29665-3 col. Sunyer. Pla d'en Dolça, Ogassa.

Fragmento de pinna de último orden con las pínnulas alargadas e insertas sobre el ancho raquis. x3.

Fig. 4. *Pecopteris cf. laxenervosa* Wagner & Lemos de Sousa, 1983. MGB v10258 col. UB (LGUB). Ogassa.

Fragments de pinnas de último orden, el central bastante completo y con el ápice, solapadas lateralmente. x3.



1b



1a

2

3



4

Lámina 23

***Pecopteris robustissima* Wagner, 1965**

Fig. 1. *Pecopteris robustissima* Wagner, 1965. MGB 19462. Surroca.

Pinna de penúltimo orden, incompleta. x3.

Fig. 2. *Pecopteris robustissima* Wagner, 1965. MGB 27670 col. RACAB (Castelló). "Sant Joan de les Abadesses".

Pinna de penúltimo orden, incompleta. 2a: x1; 2b: x3.

***Polymorphopteris pseudobucklandii* (Andrä in Germar, 1853) Wagner, 1959**

Fig. 3. *Polymorphopteris pseudobucklandii* (Andrä in Germar, 1853) Wagner, 1959. MGB 39715-1 col. Campreciós. Mina Gallina, Ogassa.

Dos pinnas incompletas de último orden. x3.

Fig. 4. *Polymorphopteris pseudobucklandii* (Andrä in Germar, 1853) Wagner, 1959. MGB 39715-2 col. Campreciós. Mina Gallina, Ogassa.

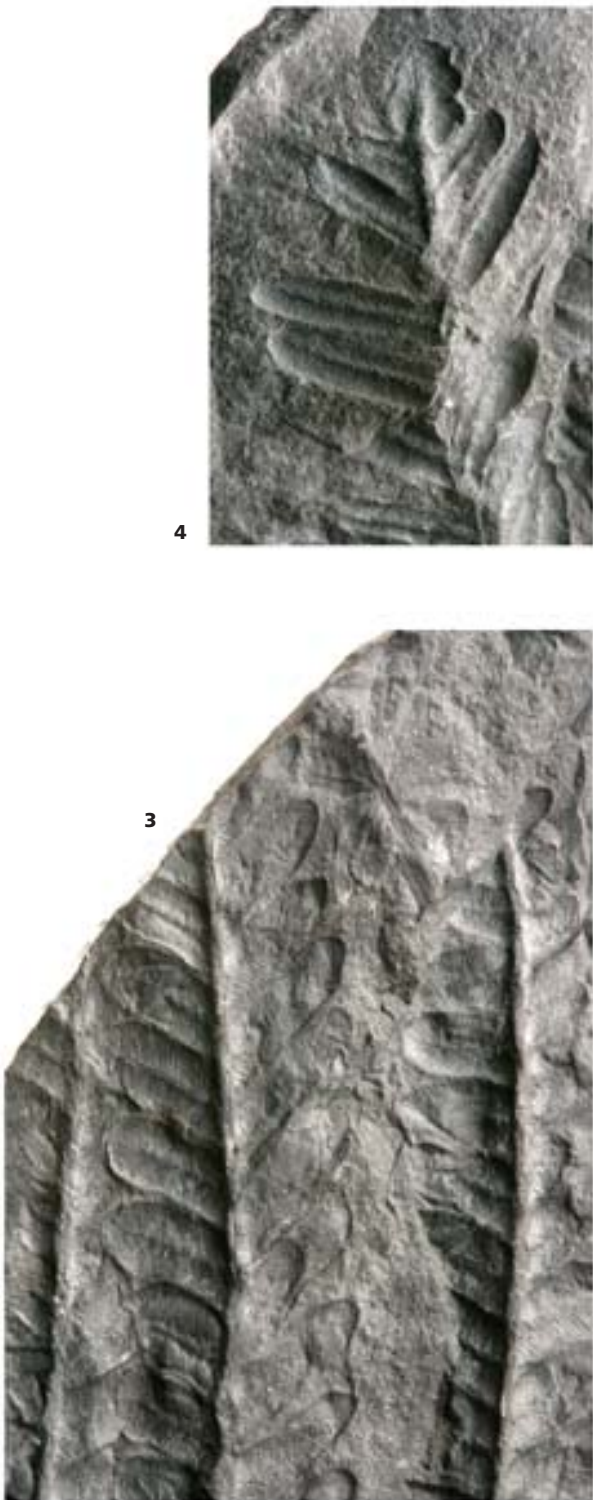
Parte apical de una pinna de último orden. x3.



2b



2a



4

3



1

Lámina 24

***Polymorphopteris pseudobucklandii* (Andrä in Germar, 1853) Wagner, 1959**

Fig. 1. *Polymorphopteris pseudobucklandii* (Andrä in Germar, 1853) Wagner, 1959. MGB 19943-1 col. Colominas. Ogassa.

Pinnas de último orden. Una de ellas conserva todo el ápice, con la pínnuma apical bien individualizada. x3.

***Polymorphopteris integra* (Andrä in Germar, 1849) Wagner, 1959**

Fig. 2. *Polymorphopteris integra* (Andrä in Germar, 1849) Wagner, 1959. MGB v10372 col. UB. Surroca.

Pinna de penúltimo orden, incompleta. En el raquis, rectilíneo, se insertan alternas las pinnas de último orden, que se acortan gradualmente hacia el terminal. x3.



2



1

Lámina 25

***Polymorphopteris integra* (Andrä in Germar, 1849) Wagner, 1959**

Fig. 1. *Polymorphopteris integra* (Andrä in Germar, 1849) Wagner, 1959. MGB v10372 col. UB. Surroca.
Pinna de penúltimo orden, incompleta. x1.

Fig. 2. *Polymorphopteris integra* (Andrä in Germar, 1849) Wagner, 1959. MGB v10373-1 col. UB (IGDPB). "Sant Joan de les Abadesses".

Varias pinnas de último orden, más o menos completas, dispuestas paralelamente. 2a: x1; 2b: x3.



2a



1



2b

Lámina 26

***Polymorphopteris polymorpha* (Brongniart, 1834)
Wagner, 1959**

Fig. 1. *Polymorphopteris polymorpha* (Brongniart, 1834)
Wagner, 1959. MGB 28106-1 col. RACAB. "Sant Joan de
les Abadesses".

Fragmento de pinna de penúltimo orden. x3.



Lámina 27

***Polymorphopteris polymorpha* (Brongniart, 1834)
Wagner, 1959**

Fig. 1. *Polymorphopteris polymorpha* (Brongniart, 1834)
Wagner, 1959. MGB v10219 col. UB (Llopis). Surroca.

Pinnas de último orden, incompletas y parcialmente solapadas. 1a: x1; 1b: x3.



1a

1b

Lámina 28

Polymorphopteris cf. subelegans (Potonié, 1893)
Wagner, 1959

Fig. 1. *Polymorphopteris cf. subelegans* (Potonié, 1893)
 Wagner, 1959. MGB 19484. Ogassa.

Fragmento de una pinna de último orden. 1a: x1; 1b: x3.

Annularia mucronata Schenk, 1883

Fig. 2. *Annularia mucronata* Schenk, 1883. MGB 27677
 col. RACAB (Bolós). “San Joan de les Abadesses”.

Verticilo incompleto de hojas lanceoladas y con el fuerte
 nervio central que se prolonga hasta el final del ápice para
 formar el característico mucrón. x3.

Annularia sphenophylloides (Zenker, 1833)
Gutbier, 1837

Fig. 3. *Annularia sphenophylloides* (Zenker, 1833) Gutbier,
 1837. MGB 29491 col. Sunyer. Cal Cabré, Ogassa.

Tres verticilos anisófilos abatidos sobre el mismo plano,
 formados por las características hojas rectas, espatuladas y
 uninerviadas, dispuestas radialmente alrededor de los nu-
 dos. x3.

Annularia spicata Gutbier, 1849

Fig. 4. *Annularia spicata* Gutbier, 1849. MGB 39715-2 col.
 Campreciós. Mina Gallina, Surroca.

Verticilo de hojas pequeñas y estrechas, algo curvadas,
 situado sobre su eje. x3.

Annularia stellata (Schlotheim, 1820) Wood, 1860

Fig. 5. *Annularia stellata* (Schlotheim, 1820) Wood, 1860.
 MGB 29578 col. Sunyer. Pla d'en Dolça, Ogassa.

Varios verticilos abatidos sobre el mismo plano. x3.



3



4



2



5



1b

Lámina 29

***Calamites (Crucicalamites) multiramis* Weiss, 1884**

Fig. 1. *Calamites (Crucicalamites) multiramis* Weiss, 1884.
MGB 29604-1 col. Sunyer. Minas del Coto, Escombrera N° 2,
Ogassa.

Parte externa de un fragmento de tronco articulado, de gruesas bandas nodales con cicatrices rameales mostrando los ombligos. 1a: x1; 1b: x3.

***Calamites (Stylocalamites) suckowii* Brongniart, 1828**

Fig. 2. *Calamites (Stylocalamites) suckowii* Brongniart, 1828.
MGB 19457 col. Bordas. "Sant Joan de les Abadesses".

Impresión de un fragmento del contramolde medular de un tallo. Las costillas, rectas, rematan ojivalmente en los nudos conformando la línea nodal quebrada bajo la que destacan los característicos nudos ovales. x3.

Fig. 3. *Calamites (Stylocalamites) suckowii* Brongniart, 1828.
MGB 27665 col. RACAB (Margarit). "Sant Joan de les
Abadesses".

Impresión de un fragmento de contramolde medular. Presenta la línea nodal característica de la especie, de costillas rectas, anchas y planas, de extremos redondeados y provistos de tubérculos subesféricos en la parte superior y de pequeños nódulos en la inferior, menos visibles. x3.



1a



2



1b



3

Lámina 30

***Asterophyllites equisetiformis* (Schlotheim, 1820)
Brongniart, 1828**

Fig. 1. *Asterophyllites equisetiformis* (Schlotheim, 1820)
Brongniart, 1828. MGB 103 col. Vidal. Ogassa.

Fragmento de tallo articulado, con los verticilos de hojas largas y estrechas, de aspecto rígido y algo arqueadas. 1a: x1; 1b: x3.



1a



1b

Lámina 31

Calamostachys tuberculata (Sternberg, 1825) Weiss, 1884

Figs. 1-2. *Calamostachys tuberculata* (Sternberg, 1825) Weiss, 1884. MGB 29616 col. Sunyer. Minas del Coto, Escombrera Nº 1, Ogassa.

Parte y contraparte de un estróbilo incompleto. x3.

Macrostachya carinata (Germar, 1851) Zeiller, 1878

Fig. 3. *Macrostachya carinata* (Germar, 1851) Zeiller, 1878. MGB 113 col. Vidal. Ogassa.

Ramita con hojas en verticilo soldadas lateralmente. 3a: x1; 3b: x3.

Calamítacea

Fig. 4. Eje de calamítacea. MGB 109 col. Vidal.

Eje articulado de calamítacea. Los entrenudos, cortos, equidistantes y costulados. Se aprecian en los nudos las cicatrices foliares. x3.

Sphenophyllum cf. verticillatum (Schlotheim, 1820) Zeiller, 1885

Fig. 5. *Sphenophyllum cf. verticillatum* (Schlotheim, 1820) Zeiller, 1885. MGB v10195 col. UB (Llopis). Surroca.

Verticilo incompleto de hojas en forma de cuña y extendidas radialmente alrededor del nudo. x3.



Lámina 32

***Sphenophyllum oblongifolium* (Germar & Kaulfuss, 1831) Unger, 1850.**

Fig. 1. *Sphenophyllum oblongifolium* (Germar & Kaulfuss, 1831) Unger, 1850. MGB 29501-1 col. Sunyer. Can Florent, Ogassa.

Tallo articulado, con los verticilos insertos en los nudos. x3.

Fig. 2. *Sphenophyllum oblongifolium* (Germar & Kaulfuss, 1831) Unger, 1850. MGB 29627-1 col. Sunyer. Pla d'en Dolça.

Tallo articulado, con los verticilos insertos en los nudos. x3.



1



2

Lámina 33

***Sphenophyllum oblongifolium* (Germar & Kaulfuss, 1831) Unger, 1850**

Fig. 1. *Sphenophyllum oblongifolium* (Germar & Kaulfuss, 1831) Unger, 1850. MGB 29627-1 col. Sunyer. Pla d'en Dolça.

Tallo articulado, con los verticilos insertos en los nudos. x1.

***Sphenophyllum* sp.**

Fig. 2. *Sphenophyllum* sp. MGB 19947 col. Colominas. Ogassa.

Tallos articulados, de similar anchura y relativamente gruesos, surcados por costillas diferenciadas y marcadas. 2a: x1; 2b: x3.



1



2b



2a

Lámina 34

***Lepidostrobophyllum hastatum* (Lesquereux, 1958) Chaloner, 1967**

Fig. 1. *Lepidostrobophyllum hastatum* (Lesquereux, 1958) Chaloner, 1967. MGB 39717 col. Campreciós. Mina Gallina, Surroca.

Láminas distales de esporofilos. x3.

***Lepidostrobus* sp.**

Fig. 2. *Lepidostrobus* sp. MGB 20618. Ogassa.
Estróbilo incompleto. x3.

***Cyperites* sp.**

Fig. 3. *Cyperites* sp. MGB v10400 col. UB. Surroca.
Fragmentos de hojas, con el nervio central bien marcado. x3.



2



1



3

Lámina 35

cf. *Asolanus camptotaenia* Wood, 1860

Fig. 1. cf. *Asolanus camptotaenia* Wood, 1860. MGB 29494 col. Sunyer. Cal Cabré.

Supuesto fragmento de corteza de un tronco con las cicatrices foliares de aspecto ojival, alargadas transversalmente y situadas en una ligera depresión. No se aprecia, sin embargo, la ornamentación superficial de costillas flexuosas y discontinuas que forman la malla de aspecto romboidal característica de la especie. x3.

***Sigillaria boblayi* Brongniart, 1828**

Fig. 2. *Sigillaria boblayi* Brongniart, 1828. MGB v10208 col. UB. Surroca.

Impresión del fragmento de un tronco longitudinalmente acanalado, algo descortezado, con los cojinetes foliares dispuestos en series verticales separadas por surcos profundos. En el interior de las cicatrices, de contorno hexagonal y ángulos redondeados, se observan las cicatrículas, situadas en el tercio superior; la central, puntiforme y flanqueada por otras dos que se curvan hacia ella a modo de paréntesis. x3.

***Sigillaria polygonalis* Vetter, 1968**

Fig. 3. *Sigillaria polygonalis* Vetter, 1968. MGB 19956 col. Colominas. Ogassa.

Fragmento de tronco mostrando las características cicatrices foliares de aspecto poligonal. 3a: x1; 3b: x3.



3b



3a



2



1

Lámina 36

Sigillaria rugosa Brongniart, 1828

Fig. 1. *Sigillaria rugosa* Brongniart, 1828. MGB 19995 col. Colominas. Ogassa.

Fragmento de tronco acanalado, en proceso de descortezaamiento. x3.

Fig. 2. *Sigillaria rugosa* Brongniart, 1828. MGB 29605 col. Sunyer. Minas del Coto, Escombrera Nº 1, Ogassa.

Impresión de un fragmento de tronco acanalado longitudinalmente, con cicatrices foliares relativamente grandes y de forma oval. En proceso de descortezaamiento. x3.

Sigillaria sp.

Fig. 3. *Sigillaria* sp. MGB 5985 col. Vidal. Surroca.

Ejemplar descortezado, en paso a *Syringodendron*. x3.

***Syringodendron* sp.**

Fig. 4. *Syringodendron* sp. MGB 29595 col. Sunyer. Minas del Coto, Escombrera Nº 2, Ogassa.

Impresión de un fragmento de tronco acanalado longitudinalmente. x3.



Lámina 37

***Sigillaria* sp.**

Fig. 1. *Sigillaria* sp. MGB 20614 col. Faura. Ogassa.

Ejemplar descortezado, en paso a *Syringodendron*. 1a:
x1; 1b: x3.



1a

1b



Lámina 38

***Stigmaria ficoides* (Sternberg, 1820) Brongniart, 1822**

Fig. 1. *Stigmaria ficoides* (Sternberg, 1820) Brongniart, 1822. MGB 120 col. Vidal. Ogassa.

Fragmento de una raíz de *Sigillaria*, con las características cicatrices marcando la inserción de apéndices (raicillas). 1a: x1; 1b: x3.

Incertae Sedis

Fig. 2. Cicatriz rameal de un ejemplar no calamítáceo. MGB 29587 col. Sunyer. Minas del Coto, Escombrera Nº 2, Ogassa. x3.



1b

Lleida

Lámina 39

Guiró (La Torre de Capdella)
Westfaliense D superior - Cantabriense basal

***Linopteris palentina* Wagner, 1964**

Fig. 1. *Linopteris palentina* Wagner, 1964. MGB 91-1 col. Vidal. Guiró (La Torre de Capdella).

Pínula aislada e incompleta. La nerviación está formada por un nervio central, delgado y más visible en la base, del que parten numerosos nervios, finos y anastomosados, que constituyen una malla que se prolonga oblicuamente hasta el margen. x3.

***Eusphenopteris neuropteroides* (Boulay, 1876)**
Novik, 1947

Fig. 2. *Eusphenopteris neuropteroides* (Boulay, 1876) Novik, 1947. MGB 84-1 col. Vidal. Guiró (La Torre de Capdella).

Pinna incompleta de penúltimo orden. Presenta las típicas pínulas alargadas, lobuladas desigualmente en la base y el ápice. x3.

Fig. 3. *Eusphenopteris neuropteroides* (Boulay, 1876) Novik, 1947. MGB 84-2 col. Vidal. Guiró (La Torre de Capdella). Pinna incompleta de último orden. x3.



1



2



3

Lámina 40

***Eusphenopteris neuropteroides* (Boulay, 1876) Novik, 1947**

Fig. 1. *Eusphenopteris neuropteroides* (Boulay, 1876) Novik, 1947. MGB 93-2 col. Vidal. Guiró (La Torre de Capdella).

Fragmento de pinna de último orden, con pínulas alargadas donde la lobulación se desarrolla desde la base. 1a: x1; 1b: x3.

cf. *Lobatopteris* sp.

Fig. 2. cf. *Lobatopteris* sp. MGB 89 col. Vidal. Guiró (La Torre de Capdella).

Pinna de último orden, de borde laterales convergentes hacia el terminal triangular, con soros. 2a: x1; 2b: x3.



Lámina 41

Castellnou d'Avellanos (Benés) Estefaniense C

***Pecopteris cf. oreopteridia* (Schlotheim, 1820) Sternberg, 1825**

Fig. 1. *Pecopteris cf. oreopteridia* (Schlotheim, 1820) Sternberg, 1825. MGB v10190 col. UB.
Fragments solapados de dos pinnas de último orden. x3.

Fig. 2. *Pecopteris cf. oreopteridia* (Schlotheim, 1820) Sternberg, 1825. MGB v10191-2 col. UB. Castellnou d'Avellanos, Benés.

Pinna de penúltimo orden, incompleta. En el raquis, ancho y estriado finamente, se insertan de modo alterno cuatro pinnas de último orden, la mayor casi completa. x3.

Noves de Segre Estefaniense C

***Pecopteris cf. ameromii* Stockmans & Willière, 1966**

Fig. 3. *Pecopteris cf. ameromii* Stockmans & Willière, 1966. MGB 96 col. Vidal. Noves de Segre.

Tres pinnas de último orden. Las pínnulas, muy próximas, de forma rectangular y ápices bien redondeados, presentan un nervio central del que surgen otros laterales, rectilíneos y simples, ocasionalmente bifurcados una sola vez. x3.

***Sphenophyllum angustifolium* (Germar, 1844) Unger, 1850**

Fig. 4. *Sphenophyllum angustifolium* (Germar, 1844) Unger, 1850. MGB 98-3 col. Vidal. Noves de Segre.

Fragmento de tallo articulado, con los verticilos en sus nudos e insertos oblicuamente. x3.



1

2



3



4